

تحلیل غیر خطی فضاهای زیرزمینی با مدل الاستوویسکو پلاستیک

احمد فهیمی فر

دانشیار

دانشکده مهندسی عمران و محیط زیست، دانشگاه صنعتی امیرکبیر

چکیده

در این مقاله ابتدا مدل الاستوویسکوپلاستیک به طور مختصر توصیف و معادله دیفرانسیل کوشش‌های ویسکوپلاستیک نسبت به زمان معرفی می‌گردد. برای استفاده از مدل در تحلیل رفتار فضاهای زیرزمینی و مناسب با طبیعت آنها سه معیار تسليم خطی و غیر خطی شامل معیار خطی موهر کولمب، معیار غیرخطی هوک و براون و معیار غیرکشی معرفی و کلیه معادلات و روابط لازم برای استفاده در برنامه کامپیوتروی استخراج گردیده‌اند. معیار غیرکشی برای تعیین بخش‌های کششی احتمالی در مقطع تونل قبل از تحلیل الاستوویسکوپلاستیک به کار می‌رود.

برنامه‌ای کامپیوتروی به زبان Quick basic تهیه گردیده است که قادر است محیط اطراف تونل و فضاهای زیرزمینی را برای حالات خطی و غیر خطی تحلیل نماید و تنش‌ها و کوشش‌ها را در جدار و نقاط اطراف تونل در حالت دوبعدی تعیین نماید. تونلی با مقطع نعل اسپی برای تحلیل انتخاب و کلیه جوانب آن مورد بحث قرار گرفته است. اثرات حفاری یک مرحله‌ای و دو مرحله‌ای، منحنی مشخصه زمین اطراف تونل، فشار ناشی از سیستم نگهداری و حائل، مشخصات سیستم نگهداری و نقاط تحت کششی در اطراف مقطع تعیین و تحلیل گردیده‌اند.

کلمات کلیدی

مدل الاستوویسکوپلاستیک، فضای زیرزمینی، تونل، معیار هوک و براون، معیار غیرکشی، منحنی مشخصه

Non-Linear Analysis of Underground Spaces with Elasto-Viscoplastic Model

A.Fahimifar

Associate Professor

Department of Civil and Environmental Engineering,
Amirkabir University of Technology

Abstract

Elasto-viscoplastic model is described first, and differential equation of visco-plastic strains is introduced with respect to time to use the model for the analysis of underground spaces include three linear and non-linear yield criteria: which is linear Mohr-Colomb, non-linear Hoek-Brown, and no-tension criteria. The corresponding relationships were derived for using in the computer program. The no-tension criterion is used for determination of the probable tension zones around the tunnel before elasto-plastic analysis.

A computer program was prepared in quick basic language capable of analyzing the ground around tunnels and underground spaces for linear and non-linear cases, and also to determine the stresses and strains in the tunnel surface in two dimensional case.

A horse-sheo shape tunnel was selected for analysis. One and two stage excavations, ground characteristics curve, pressure due to support system and the tension zones around the tunnel were analyzed and determined.

Keywords

Elasto-viscoplastic model, undergrond space, tunnel, Hoek-Brown criterion, no-tesion criterion, characteristics curve.

مقدمه

تحلیل رفتاری توده سنگ یا خاک اطراف تونل‌ها و فضاهای زیرزمینی و نیز طراحی سیستم نگهداری و حائل آنها، همیشه از عمدترين و پيچيده ترین مباحث در مهندسي تونل بوده است. بر پايه روش‌های نظری راه حلی توسط لادنی و همکاران [۱] ارائه شد که مورد توجه خاص قرار گرفت. اين روش بر پايه مفروضات متعدد ساده کننده‌ای است که در عمل و در شرایط واقعی کمتر اتفاق می‌افتد که کلیه اين شرایط بر تونل و فضای مورد نظر حاكم باشد. از مهمترین مفروضات روش لادنی مقطع دايره برای فضای زیرزمینی و در حالت کرنش مستوی است. تنش‌های اولیه (قائم و افقی) با يكديگر متساوی بوده و به عبارتی برای حالت تنش ژئوستاتیک مسئله حل شده است. در حالیکه در اغلب موارد K0 (نسبت تنش افقی به قائم) مخالف صفر بوده و در عمق‌های کمتر از ۵۰۰ متر غالباً بزرگتر از يك می‌باشد. فشار وارد از سیستم نگهداری در این مدل به صورت شعاعی به توده اطراف وارد می‌شود. خواص توده در برگیرنده اعم از سنگ یا خاک قبل از حفاری (توده بکر و دست نخورده) رفتاری الاستیک و خطی دارد و از معیار خطی موهر- کولمب (C و φ ثابت) پيروی می‌کند.

ladni در مدل خود فرض کرده است پس از حفاری ناحیه‌ای در اطراف تونل از حالت الاستیک خارج شده و جريان پلاستیک در آن رخ می‌دهد. این منطقه به صورت دايره‌ای با شعاع ثابت در نظر گرفته شده و رفتار آن نیز پلاستیک کامل و يده‌آل منظور شده است. به عبارتی برای يك زاويه اصطکاک و چسبندگی ثابت (زاویه اصطکاک داخلی توده سنگ در منطقه پلاستیک) رابطه‌ای خطی بين تنش‌های اصلی در منطقه پلاستیک وجود دارد. از رفتار تابع زمان توده سنگ نیز صرفنظر شده است. در مدل ladni فرض شده است که در مرز منطقه الاستیک و پلاستیک، مشخصات مکانیکی توده سنگ به صورت ناگهانی تغيير می‌کند، که اين فرض به علت غير واقعی بودن آن، در عمل خطای زيادي را به همراه دارد. فرض تقارن شعاعی در روشladni، تقريباً در هيج حالي صحت ندارد. حتى در تونل‌های با هندسه دايره، چنانچه اثر وزن منطقه پلاستیک در نظر گرفته شود، معادله ديفرانسيل تعادل تغيير يافته و حل آن به سادگی امکان‌پذير نمی‌باشد. در تحليل ladni امکان بررسی حفاری چند مرحله‌ای وجود ندارد. در حالیکه در عمل در بيشتر موارد، مقطع تونل به صورت چند مرحله‌ای حفاری می‌گردد و بايستی اثر مراحل مختلف حفاری را در ميدان تنش‌ها و تغيير شكل‌های نواحي اطراف تونل در نظر گرفت.

با توجه به محدودیت‌های فراوان اين روش، نياز به راه حل جامع تر برای تحليل پايداري و طرح نگهداري و حائل تونل‌ها ضروري است. اين امر استفاده از روش‌های عددی را در تحليل مسئله برای رفع بسياري از محدودیت‌های فوق ايجاب می‌نماید. در اين مقاله با استفاده از روش المان‌های محدود برای تحليل تنش و تغيير شكل در توده اطراف و با تکيه بر مدل‌های الاستوپلاستیک و ويسبولاستیک و به کارگيري معیارهای خطی و غير خطی رفتار توده سنگ تعدادی از محدودیت‌ها و مفروضات ساده‌کننده حذف گردیده و شرایط عملی فضاهای زیرزمینی مد نظر قرار گرفته است.

رابطه اساسی تنش - کرنش در حالت الاستوپلاستیک

در مصالح ايزوتropic برای تحليل ميدان تنش (σ) و کرنش الاستوپلاستیک (ϵ) بايستی يك قانون رفتاري در نظر گرفته شود. چنانچه شرایط بارگذاري به گونه‌ای باشد که ماده تشکيل‌دهنده سازه رفتاري الاستیک از خود نشان دهد اين قانون رفتاري به شكل زير بيان می‌شود.

$$\sigma = D \cdot \epsilon \quad (1)$$

در اين رابطه، D ماترييس سختي می‌باشد. ماترييس D در حالت کلی يك ماترييس 6×6 بوده و در حالات تنش و کرنش صفحه‌ای بصورت 3×3 بيان می‌شود. در مسائل الاستوپلاستیک به سادگی نمی‌توان يك رابطه کلی بين ميدان تنش و ميدان کرنش تعیین نمود. در اين حالت رابطه رفتاري باید بر حسب افزایش جزئی در ميدان تنش و کرنش به صورت $d\sigma$ و $d\epsilon$ بيان گردد. اين رابطه قانون اساسی الاستوپلاستیک نام دارد.

$$d\tilde{\sigma} = D^{ep} \cdot d\tilde{\varepsilon}$$

ماتریس سختی الاستوپلاستیک (D^{ep}) از رابطه زیر به دست می‌آید [۲]:

$$D^{ep} = D - \frac{D \cdot \frac{\partial Q}{\partial \sigma} \cdot \frac{\partial F^T}{\partial \sigma} \cdot D}{\frac{\partial F^T}{\partial \sigma} \cdot D \cdot \frac{\partial Q}{\partial \sigma} - \frac{\partial F^T}{\partial \varepsilon^p} \cdot \frac{\partial Q}{\partial \sigma}} \quad (3)$$

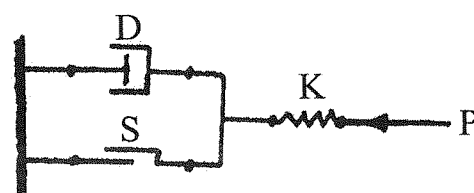
F تابع تسلیم (برشی) و Q تابع رویه پتانسیل و F^T ماتریس ترانسپوز F می‌باشد.

بردار افزایش کرنش پلاستیک در حالت کلی بر رویه تسلیم عمود نمی‌باشد. اما می‌توان یک رویه فرضی در فضای تنش‌های اصلی در نظر گرفت که این بردار از آن رویه مشتق شده و به صورت گرادیان آن باشد. به این رویه فرضی که بردار افزایش کرنش پلاستیک از آن مشتق می‌شود رویه پتانسیل می‌گویند. به عبارت بهتر، رویه پتانسیل رویه‌ای است که بردار عمود بر آن با بردار افزایش کرنش پلاستیک هم جهت است.

با شناخت این قانون رفتاری می‌توان با استفاده از روش المان‌های محدود مسائل الاستوپلاستیک را تحلیل نمود.

تصویف مدل الاستوویسکو پلاستیک

در نظریه پلاستیکیه فرض بر این است که ماده در اثر بارگذاری تغییر شکل داده و کرنش آن به زمان بستگی ندازد. در نظریه ویسکوپلاستیک فرض مهم و اساسی این است که کلیه کرنش‌های پلاستیک ماده تابع زمان بوده و با گذشت زمان مقدار آنها تغییر می‌کند. این کرنش‌های پلاستیک و ماندگار تابع زمان را کرنش ویسکوپلاستیک می‌نامند. برای درک بهتر رفتار ویسکوپلاستیک مدلی مطابق شکل ۱ در نظر می‌گیریم.



شکل (۱) مدل رفتاری الاستو ویسکو پلاستیک.

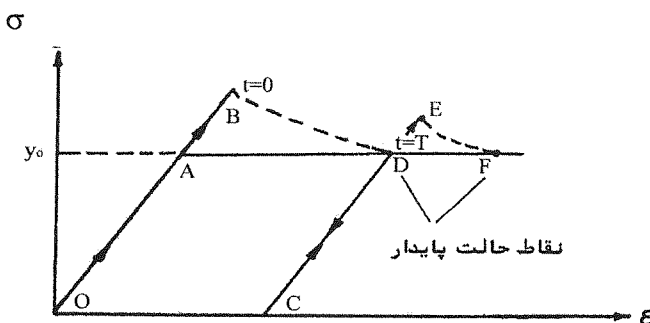
این مدل از ترکیب یک فنر با یک سیستم موازی مرکب از لغزنده و مدل ویسکوزی تشکیل یافته است. به این سیستم نیروی P اعمال می‌شود. به ازای مقادیر کم P فنر تغییر شکل الاستیک داده و پس از باربرداری این تغییر شکل کاملاً از بین خواهد رفت. چنانچه نیروی P به حدی باشد که به ازای آن قیود اصطکاکی لغزنده از بین برود، در آن حرکت آغاز می‌شود. اما به دلیل وجود المان D این حرکت ناگهانی نبوده و با گذشت زمان اتفاق خواهد افتاد. به بیان دیگر به ازای مقادیر حدی P سیستم خاصیت باربری خود را از دست داده و با گذشت زمان تغییر شکل زیادی می‌دهد.

لغزنده در اینجا برای نشان دادن تسلیم ماده بکار رفته و نشان دهنده رفتار پلاستیک ماده (غیرقابل برگشت بودن تغییر شکل‌ها) است. و به علت وجود مدل ویسکوزی D توقف تغییر شکل برگشت ناپذیر آن به زمان نیاز دارد. بنابراین در لحظه اول بارگذاری، ماده رفتاری کاملاً الاستیک داشته و کل تنش بوسیله فنر الاستیک جذب می‌شود.

شکل ۲ رفتار میله بارگذاری شده (تحت بار کششی) در حالت یک بعدی منطبق بر مدل فوق را نشان می‌دهد. در این آزمایش می‌توان کرنش میله را کنترل نمود. در لحظه $t=0$ ، کرنشی معادل ε_0 به میله اعمال می‌شود. از آنجائیکه در لحظه شروع بارگذاری میله رفتاری کاملاً الاستیک دارد تنش در میله از رابطه زیر (قانون هوک) حساب می‌شود.

$$\sigma = E \cdot \epsilon \quad (4)$$

در این رابطه E مدول الاستیسیته ماده می‌باشد. مقدار تنش σ که از رابطه فوق حساب می‌شود ممکن است بیشتر یا کمتر از تنش تسلیم ماده (y_0) باشد. اگر این مقدار از y_0 کمتر باشد هیچگونه کرنش ماندگار ویسکوپلاستیک مشاهده نمی‌شود و چنانچه در این مرحله سیستم باربرداری گردد، تغییر شکل میله به صفر خواهد رسید (قسمت OA از شکل ۲).



شکل (۲) منحنی رفتاری ماده غیر سخت شونده بر مبنای مدل الاستیک - ویسکو پلاستیک.

اگر تنش محاسبه شده از رابطه ۴ بیش از تنش تسلیم باشد مطابق قسمت OB در لحظه اول شاهد رفتار الاستیک و سپس با گذشت زمان کرنش‌های ماندگار و ویسکوپلاستیک افزایش یافته و در لحظه $t=T$ به حد پایدار خود می‌رسد. نرخ افزایش کرنش‌های ویسکوپلاستیک به مقدار تفاوت تنش با تنش تسلیم y_0 و همچنین خواص ماده بستگی دارد. این نرخ افزایش در طول زمان به صورت $\dot{\epsilon}^{vp}$ (vp اندیس است) نشان داده می‌شود که در آن $\dot{\epsilon}^{vp}$ بیانگر کرنش ویسکوپلاستیک و علامت (.) در بالای آن تغییرات در واحد زمان را نشان می‌دهد. کرنش‌های الاستیک با $\dot{\epsilon}^e$ بیان می‌شوند. بدین ترتیب روابط ۵ الی ۷ را می‌توان به صورت زیر در نظر گرفت.

$$\frac{\dot{\epsilon}^e}{\sim} = \epsilon - \frac{\dot{\epsilon}^{vp}}{\sim} \quad (5)$$

$$\frac{\sigma}{\sim} = E \cdot \frac{\dot{\epsilon}^e}{\sim} \quad (6)$$

$$\frac{\sigma}{\sim} = E(\epsilon - \frac{\dot{\epsilon}^{vp}}{\sim}) \quad (7)$$

نرخ افزایش کرنش‌های ویسکو پلاستیک در حالت $y_0 < \sigma$ (محدوده الاستیک)، برابر با صفر است. بنابراین حالت پایدار (حالی که در آن افزایش بیشتر کرنش ماندگار تابع زمان اتفاق نیافتد)، وقتی رخ می‌دهد که تنش به میزان $\sigma = y_0$ برسد. در حالت سه بعدی می‌توان گفت که حالت پایدار زمانی است که مولفه‌های تنش بر رویه تسلیم واقع باشند. در شکل ۲ در هر مرحله که میله باربرداری شود منحنی مانند خط CD برگشت پذیر بوده و یک کرنش ماندگار و ویسکو پلاستیک در ماده معادل OC دیده می‌شود.

فرضیات مدل الاستیک ویسکو پلاستیک بصورت زیر بیان می‌شوند [۲]. الف- در این مدل فرض می‌شود که در لحظه اول بارگذاری، ماده رفتاری الاستیک دارد. ب- در این مدل میدان تنش می‌تواند در حالات غیر پایدار خارج از رویه تسلیم در نظر گرفته شود و این فرض با تئوری پلاستیسیته که در آن حالت تنش خارج از رویه تسلیم یک حالت غیر ممکن تنش ها را نشان می‌دهد، کاملاً متفاوت است.

ج - به ازای تنش‌های خارج از رویه تسلیم، نرخی برای افزایش کرنش ویسکو پلاستیک وجود داشته که از معادله خاصی به نام معادله جریان ویسکو پلاستیک تبعیت می‌کند. این افزایش کرنش ماندگار ویسکوپلاستیک تا رسیدن به یک میدان تنش واقع بر رویه تسلیم (حالت پایدار) ادامه دارد. همچنین به ازای میدان تنش‌های داخل روش تسلیم (محدوده الاستیک)، نرخ افزایش کرنش ویسکو پلاستیک صفر می‌باشد.

د- مفاهیم قانون جریان،تابع تسلیم و قانون سخت شوندگی در تئوری پلاستیسیته در اینجا نیز قابل قبول بوده و کاربرد مشابهی دارند.

معادله جریان ویسکو پلاستیک

در قانون جریان پلاستیک بردار افزایش کرنش پلاستیک متناسب با گرادیان رویه فرضی پتانسیل می‌باشد. همچنین نرخ افزایش کرنش‌های ماندگار ویسکو پلاستیک به خواص ماده و شرایط بارگذاری بستگی دارد. با توجه به این مفاهیم معادله زیر برای نرخ تغییرات کرنش ویسکو پلاستیک ارائه گردید [۲].

$$\frac{dp}{\rho} = \frac{d\epsilon^p}{dt} = \eta \cdot \langle \phi(F) \rangle \cdot \frac{\partial Q}{\partial \sigma} \quad (8)$$

در این معادله Q رویه پتانسیل، η پارامتر روانگونگی ماده و $\langle \phi(F) \rangle$ تابع جریان نام دارند. F مقدار تابع تسلیم را نشان می‌دهد. علامت $< >$ به این منظور بکار رفته است که برای حالات $F < 0$ مقدار عبارت داخل آن صفر و برای حالات $F > 0$ ، مقدار عبارت داخل آن، یک مقدار غیر صفر می‌باشد.

لازم به ذکر است که در قانون جریان غیر مرتبط بردار افزایش کرنش پلاستیک بر رویه تسلیم عمود نمی‌باشد. بلکه این بردار بر رویه‌ای فرضی در فضای تنش‌ها به نام رویه پتانسیل عمود است. به همین دلیل این نوع جریان را که در آن جهت افزایش کرنش پلاستیک به رویه تسلیم بستگی ندارد جریان تسلیم غیر مرتبط می‌گویند. در این حالت بردار افزایش کرنش پلاستیک به صورت زیر در می‌آید:

$$d\epsilon^p \frac{\partial Q}{\partial \sigma} \lambda$$

که در آن Q معادله رویه پتانسیل و λ ضریب تناسب است که رشد کرنش پلاستیک را در حوزه تنش‌ها نشان می‌دهد. در

رابطه (۸) η پارامتر روانگونگی (viscosity coefficient) ماده بوده و طبق رابطه $\eta = \gamma \tau$ بیان کننده تناسب بین تنش پرشی و نرخ کرنش پرشی است [۳].

همانطور که ذکر شد در حالت پایدار میدان تنش‌ها بر رویه تسلیم قرار می‌گیرد و می‌توان گفت که کرنش‌های ویسکو پلاستیک نهایی در این حالت با کرنش پلاستیک حاصل از تحلیل با نظریه پلاستیسیته برابر است. بدین ترتیب می‌توان با استفاده از نظریه ویسکو پلاستیک مسائل الاستوپلاستیک را نیز تحلیل نمود.

استفاده از این مدل در حل مسائل الاستوپلاستیک به کمک روش المانهای محدود توسط زینکوویچ شرح داده شده و محققینی از آن برای تحلیل محیط‌های غیر خطی بهره گرفته‌اند [۲] [۴] و [۵]. در این روش (F) ϕ معمولاً معادل با تابع تسلیم در نظر گرفته شده و به صورت زیر منظور می‌شود.

$$\phi(F) = F \quad (9)$$

برای مقدار η عددی ثابت فرض کرده و از زمان نیز به عنوان عامل مصنوعی در تعیین کرنش پلاستیک استفاده می‌شود. بدین ترتیب معادله (۹) به صورت زیر در می‌آید.

$$\begin{aligned}
 \dot{\varepsilon}^{\text{vp}} &= n. \langle F \rangle \cdot \frac{\partial Q}{\partial \sigma} & F > 0 \\
 \sim & & \sim \\
 \dot{\varepsilon}^{\text{vp}} &= 0 & F \leq 0 \\
 \sim & &
 \end{aligned} \tag{10}$$

در روابط ۱۰ می‌توان قانون جریان پلاستیک را با در نظر گرفتن $Q=F$ به صورت قانون جریان مرتبط در نظر گرفت. تحلیل سالم مواد با این نظریه به رفتار واقعی ماده نزدیکتر بوده و از ریاضیات ساده‌تری نسبت به نظریه پلاستیسیته برخوردار می‌باشد.

η همانطور که در بالا اشاره شد پارامتر روانگونگی ماده بوده که خاصیت تابع زمان ماده را نشان می‌دهد. برای محاسبه آن از طریق آزمایشگاه با استفاده از آزمایش خرزش و یا آزمایش‌های مشابه (relaxation test) می‌توان مقدار η را برای هر ماده مثل سنگ به دست آورد. واحد آن تنش بر زمان (مثل MPa/min یا Pa/min) است و به لحاظ کمی دامنه‌ای گسترده از اعداد بزرگ از 10^5 و بزرگتر را در بر می‌گیرد.

تحلیل رفتار غیرخطی به روش الاستو ویسکو پلاستیک

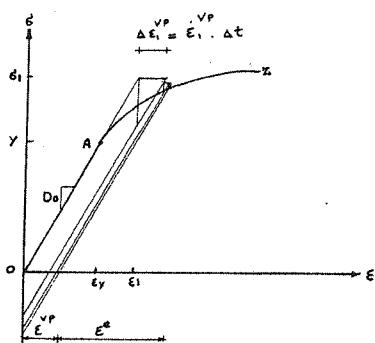
همانطور که دیدیم قانون جریان ویسکو پلاستیک مطابق رابطه ۸ بیان گردید. برای قانون سالم مرتبط رابطه ۸ به صورت زیر در می‌آید:

$$\frac{d \dot{\varepsilon}^{\text{vp}}}{dt} = \eta \cdot \langle \phi(F) \rangle \cdot \frac{\partial F}{\partial \sigma} \tag{11}$$

این روش به صورت ترسیمی در شکل ۳ نشان داده شده است.
برای تدوین اولین تصحیح نیرو، از الگوریتم زیر استفاده می‌شود:

- ۱- از اولین تحلیل الاستیک مقدار تنش σ_1 بدست می‌آید.
- ۲- با توجه به سطح تنش σ_1 از رابطه ای نظری رابطه ۸ نرخ کرنش فرضی ویسکوپلاستیک تعیین می‌گردد. برای تحلیل حالت پایدار یا الاستوپلاستیک $\langle \phi(F) \rangle$ را معمولاً با $\langle F \rangle$ برابر می‌گیرند که روابط ۱۱ بدست می‌آید. به η نیز هر مقدار فرضی می‌توان نسبت داد (با توجه به مقدار واقعی η برای مواد سنتگی بهتر است که مقادیر متعلق به η در محدوده 10^6 تا $10^9 \text{ psi}/\text{min}$ انتخاب شود). علامت Δ را هم می‌توان با Δ تقریب زد. لذا رابطه ۱۱ به صورت زیر در نظر گرفته می‌شود.

$$\frac{\Delta \dot{\varepsilon}^{\text{vp}}}{\Delta t} = \eta \cdot \langle F \rangle \cdot \frac{\partial F}{\partial \sigma} \tag{12}$$



شکل (۳) بیان ترسیمی روش ویسکوپلاستیک.

که از اینجا خواهیم داشت:

$$\Delta \varepsilon^{vp} = \eta \cdot \langle F \rangle \cdot \frac{\partial F}{\partial \sigma} \cdot \Delta t \quad (13)$$

۱- از رابطه ۱۳ مقدار کرنش فرضی ویسکوپلاستیک (برای اولین سعی و خطا در شکل نشان داده شده است) تعیین می‌گردد.
سپس با استفاده از رابطه زیر بردار تصحیح نیروهای گرهی هر المان تعیین می‌شود (از لحاظ حل عددی مسئله) [۲].

$$r_{1e} = \int_{VOL} B^T \cdot D \cdot \Delta \varepsilon_1^{vp} \cdot dV \quad (14)$$

با توجه به رابطه کلی روش المان‌های محدود (K.u=R) نیروهای گرهی مطابق رابطه زیر به بردار R اضافه می‌گردد (به شکل ۴ فلوچارت برنامه کامپیوتری مراجعه شود).

$$Ku = R + \sum_{n=1}^{numel} r_{1n} \quad (15)$$

۵- بیانگر بردار تصحیح نیروهای المان بوده و numel تعداد المان‌ها را نشان می‌دهد. عمل فوق را می‌توان تا رسیدن به یک رواداری (tolerance) معین ادامه داد.

با توجه به اینکه در اینحالت مقادیر $\langle F \rangle$ و η اختیاری فرض گردیده‌اند، مهمترین عامل در رسیدن به همگرایی در جوابهای مسئله، تعیین Δt می‌باشد. چنانچه مقدار Δt از حدی بیشتر گردد همگرایی در مسئله مشاهده نخواهد شد. این حد را فاصله زمانی بحرانی گویند. اگر میزان Δt انتخابی در رابطه ۱۳ از زمان بحرانی کوچکتر باشد همگرایی مسئله حتمی است. اما تعداد آزمون و خطا افزایش یافته و این خود سبب افزایش هزینه و زمان تلف شده خواهد گردید. برای مدل موهر کولمب رابطه زیر پیشنهاد شده است [۲] و [۵].

$$\Delta t_{cr} = \frac{2(1 - 2v)}{\eta \cdot G \cdot (1 - 2v + \sin^2 \phi)} \quad (16)$$

در این رابطه Δt_{cr} فاصله زمانی بحرانی، v ضریب پواسن، G مدول الاستیسیته برشی، ϕ زاویه اصطکاک داخلی ماده و η پارامتر روانگونگی فرض شده در رابطه ۱۳ می‌باشد. برای معیارهای تسلیم تجربی نظیر معیار هوک و براون در مکانیک سنگ امکان معرفی یک مقدار بحرانی برای Δt وجود ندارد. در اینجا با استناد به آزمون و خطا مقدار Δt ای را تعیین نمود که مسئله به ازای آن همگرا گردد.

روابط لازم برای تحلیل الاستوپلاستیک اطراف تونل با استفاده از مدل ویسکوپلاستیک

در این مقاله با در نظر گرفتن سه معیار مورکلمب، هوک و براون و تحلیل غیرکشن، رفتار توده سنگ بررسی می‌گردد. در این بررسی فرضیات زیر در نظر گرفته شده و بر اساس آن برنامه کامپیوتری تدوین گردیده است.

الف- توده سنگ اطراف تونل همگن و ایزوتروپ می‌باشد.

ب- معیارهای تسلیم در نظر گرفته شده از نوع مدل‌های الاستوپلاستیک کامل و ایده‌آل هستند. در اینجا قابل ذکر است که به کمک روش ویسکوپلاستیک می‌توان مدل‌هایی با رفتار سخت کرنشی و نرم کرنشی در نظر گرفت. در این مدل‌ها رویه تسلیم با توجه به حالت تنش تغییر یافته و تغییر شرایط تسلیم از قانون سخت شوندگی خاصی تعیین می‌کند.

ج - برای بررسی تغییر شکل و کرنش پلاستیک از شرایط تعادم و قانون تسلیم مرتبط استفاده شده است.
با توجه به این فرضیات روابط لازم برای تحلیل مسئله به روش ویسکوپلاستیک تعیین می‌شوند.

تعیین روابط لازم برای مدل موهرکولمب

مدل موهرکولمب را می‌توان توسط معادله زیر ارائه داد:

$$F(\sigma) = \sigma_d - 2\sigma_s \sin\phi - 2C \cos\phi = 0 \quad (17)$$

σ و σ_d انواریان‌های (نامتغیرهای) تنش در حالت کرنش صفحه‌ای بوده که به صورت زیر تعریف می‌شوند:

$$\sigma_s = \frac{1}{2}(\sigma_x + \sigma_y) = \frac{1}{2}(\sigma_1 + \sigma_3) \quad \text{و} \quad \sigma_d = [(\sigma_x - \sigma_y)^2 + 4\tau_{xy}^2]^{\frac{1}{2}} = \sigma_1 - \sigma_3$$

بنابر این معادله ۱۷ مطابق رابطه زیر بیان می‌شود:

$$F(\sigma) = [(\sigma_x - \sigma_y)^2 + 4\tau_{xy}^2]^{\frac{1}{2}} - (\sigma_x + \sigma_y) \sin\phi - 2C \cos\phi = 0 \quad (18)$$

با توجه به رابطه ۸ یعنی قانون جریان ویسکوپلاستیک و برای حالت تحلیل پایدار که $\phi(F) = F$ می‌باشد، نرخ تغییرات کرنش ویسکوپلاستیک برای قانون جریان مرتبط به صورت زیر بدست می‌آید.

$$\frac{d \varepsilon_x^{vp}}{dt} = \eta F \cdot \frac{\partial F}{\partial \sigma_x} \quad (19)$$

با توجه به رابطه ۱۸ داریم:

$$\frac{\partial F}{\partial \sigma_x} = (\sigma_x - \sigma_y)/[[(\sigma_x - \sigma_y)^2 + 4\tau_{xy}^2]^{\frac{1}{2}} - \sin\phi] \quad (20)$$

و با توجه به اینکه:

$$\sigma_x - \sigma_y = \sigma_x + \sigma_y - 2\sigma_y = 2\sigma_s - 2\sigma_y = 2(\sigma_s - \sigma_y) \quad (21)$$

که از اینجا:

$$\frac{\partial F}{\partial \sigma_x} = \frac{2(\sigma_s - \sigma_y)}{\sigma_d} - \sin\phi \quad (22)$$

و نرخ کرنش ویسکوپلاستیک در جهت x از رابطه ۲۳ بدست می‌آید.

$$\frac{d\varepsilon_x^{vp}}{dt} = \eta.F.[2(\sigma_s - \sigma_y)/\sigma_d - \sin\varphi] \quad (23)$$

با انجام عملیات مشابه، نرخ کرنش ویسکوپلاستیک در جهت y و نرخ کرنش ویسکوپلاستیک برشی از روابط زیر بدست می‌آیند.

$$\frac{d\varepsilon_y^{vp}}{dt} = \eta.F.[2(\sigma_s - \sigma_x)/\sigma_d - \sin\varphi] \quad (24)$$

$$\frac{d\gamma_{xy}^{vp}}{dt} = 4.\eta.F.\tau_{xy}/\sigma_d \quad (25)$$

بنابراین نرخ کرنش ویسکوپلاستیک برای معیار مورکولمب از روابط ۲۳ الی ۲۵ به دست می‌آید.

تعیین روابط لازم برای مدل هوک و براون

با استفاده از رابطه ۸ نرخ کرنش‌های ویسکوپلاستیک با توجه به معیار هوک و براون تعیین می‌گردند. معیار هوک و براون مطابق زیر بیان می‌شود.

$$F(\sigma) = \sigma_1 - \sigma_3 - \left(m \sigma_c \sigma_3 + s \sigma_c^2 \right)^{1/2} \quad (26)$$

رابطه ۲۶ بر حسب انواریان‌های تنش به صورت زیر به دست می‌آید:

$$F(\sigma) = \sigma_d - \left[m \sigma_c \cdot (\sigma_s - \sigma_d/2) + s \sigma_c^2 \right]^{1/2} \quad (27)$$

با مشتق گرفتن از رابطه ۲۷ نسبت به σ_x داریم:

$$\frac{\partial F}{\partial \sigma_x} = \frac{\partial \sigma_d}{\partial \sigma_x} - \frac{1}{2} (m \sigma_c (\sigma_3 - \sigma_d/2) + s \sigma_c^2)^{-1/2} \cdot m \sigma_c \left(\frac{\partial \sigma_s}{\partial \sigma_x} - \frac{1}{2} \frac{\partial \sigma_d}{\partial \sigma_x} \right) \quad (28)$$

$$\frac{\partial F}{\partial \sigma_x} = 2(\sigma_s - \sigma_y)/\sigma_d - \frac{m \sigma_c}{2(\sigma_d - F)} \cdot \left(\frac{1}{2} - \frac{(\sigma_s - \sigma_y)}{\sigma_d} \right) \quad (29)$$

واز رابطه ۸ داریم:

$$\frac{d\varepsilon_x^{vp}}{dt} = \eta.F \cdot \left\{ \frac{2(\sigma_s - \sigma_y)}{\sigma_d} - \frac{m \sigma_c}{2(\sigma_d - F)} \left(\frac{1}{2} - \frac{(\sigma_s - \sigma_y)}{\sigma_d} \right) \right\} \quad (30)$$

به همین طریق مشتقهای $\frac{\partial F}{\partial \gamma_{xy}}$ و $\frac{\partial F}{\partial \sigma_y}$ مطابق روابط زیر محاسبه می‌شوند:

$$\frac{d\varepsilon_y^{vp}}{dt} = \eta \cdot F \cdot \left\{ \frac{2(\sigma_s - \sigma_x)}{\sigma_d} - \frac{m \cdot \sigma_c}{2(\sigma_d - F)} \cdot \left(\frac{1}{2} - \frac{(\sigma_s - \sigma_x)}{\sigma_d} \right) \right\} \quad (31)$$

$$\frac{d\gamma_{xy}^{vp}}{dt} = 4 \cdot \mu \cdot F \cdot \tau_{xy} \left(1 + \frac{m \cdot \sigma_c}{4(\sigma_d - F)} \right) / \sigma_d \quad (32)$$

به این ترتیب نرخ کرنش‌های ویسکوپلاستیک برای معیار هوك و براون از روابط ۳۰ الی ۳۲ به دست می‌آید.

معیار غیرکشش و روابط مرتبط با آن

ممکن است پس از حفاری تونل بخش‌هایی از توده سنگ که در جدار منطقه حفاری قرار دارند در اثر وزن ناحیه پلاستیک توده و یا سایر شرایط موجود به کشش افتاده و سبب تضعیف باربری سنگ گردند. لذا تعیین مقاطع کششی احتمالی قبل از تحلیل الاستوپلاستیک در تونلهای ضروری است. تحلیل غیرکشش مناطق فعال ترک خوردگی در توده سنگ را بعلت تنفس کششی نشان داده و با آن می‌توان مناطقی از توده که به تقویت و مسلح کردن نیاز دارند را تعیین نمود. برای تحلیل غیرکشش تابع تسلیم به صورت زیر در نظر گرفته می‌شود [۲].

$$F = DTEN - \sigma_3 \quad (33)$$

در این رابطه σ_3 تنفس اصلی کوچکتر و $DTEN$ عددی ثابت و کوچک است. مقدار $DTEN$ را می‌توان به مراتب کمتر از مقدار مقاومت کششی سنگ در نظر گرفت (این مقدار عملاً نرده‌یک به صفر انتخاب می‌شود). در اینجا مشابه مباحثت گذشته، $F < 0$ نشان دهنده عدم وجود کشش و حالت $F > 0$ بیانگر وجود تنفس‌های کششی در المان مورد بررسی می‌باشد. همانطوری که از رابطه فوق پیداست، آنالیز غیرکشش یک بررسی کیفی در تعیین مناطق کشش احتمالی توده سنگی اطراف تونل به شمار می‌رود. هرگاه در هیچ نقطه‌ای از توده سنگ تنفس کششی مشاهده نشود تحلیل غیرکشش و تحلیل الاستیک به نتایج یکسانی منجر می‌گردد. بطوریکه ذکر شد در این تحلیل مناطقی از توده سنگ که به تقویت نیاز دارند مشخص گردیده اما میزان این تقویت را نمی‌توان با این روش تعیین نمود.

برای تعیین مقدار و کمیت این تقویت سازه‌ای می‌توان فرض کرد که المان ترک خورده پس از شکست کامل کشش در اثر وجود عامل تقویتی به شکل الاستیک عمل کرده و آن المان همراه با سایر قسمتهای توده سنگ به صورت الاستوپلاستیک تحلیل می‌گردد. سپس با داشتن میزان تنفس کششی موجود در المان و جهت آن می‌توان مقدار تقویت لازم را تعیین نمود. رابطه ۳۳ بر حسب انواریانهای تنفس به شکل زیر در می‌آید:

$$F = DTEN - \left(\sigma_s - \frac{\sigma_d}{2} \right) \quad (34)$$

برای تعیین نرخ کرنش‌های ویسکوپلاستیک، از رابطه فوق مشتق گیری می‌شود.

$$\frac{\partial F}{\partial \sigma_x} = -\frac{\partial \sigma_s}{\partial \sigma_x} + \frac{1}{2} \frac{\partial \sigma_d}{\partial \sigma_x} = -\frac{1}{2} + \frac{(\sigma_s - \sigma_y)}{\sigma_d} \quad (35)$$

$$\frac{\partial F}{\partial \sigma_y} = -\frac{1}{2} + \frac{(\sigma_s - \sigma_x)}{\sigma_d} \quad (36)$$

$$\frac{\partial F}{\partial \tau_{xy}} = 0 + \frac{1}{2} \frac{\partial \sigma_d}{\partial \tau_{xy}} = \frac{2\tau_{xy}}{\sigma_d} \quad (37)$$

لذا نرخ کرنش‌های ویسکوپلاستیک معیار غیرکشش، از روابط زیر بدست می‌آید:

$$\frac{d\varepsilon_x^{vp}}{dt} = \eta \cdot F \left[\frac{(\sigma_s - \sigma_y)}{\sigma_d} - 0.5 \right] \quad (38)$$

$$\frac{d\varepsilon_y^{vp}}{dt} = \eta \cdot F \left[\frac{(\sigma_s - \sigma_x)}{\sigma_d} - 0.5 \right] \quad (39)$$

$$\frac{d\gamma_{xy}^{vp}}{dt} = 2 \cdot \eta \cdot F \cdot \tau_{xy} / \sigma_d \quad (40)$$

پس از تعیین این روابط بدین ترتیب تمام عوامل لازم برای تهیه برنامه کامپیوتری تعیین گردیده‌اند.

برنامه کامپیوتری و ویژگی‌های آن

خصوصیات و توانایی‌های این برنامه و دامنه کاربرد آنرا می‌توان در موارد ذیل خلاصه نمود.

ویژگی‌های عمومی

الف - زبان برنامه: این برنامه بر اساس زبان پیشرفته QUICK BASIC تهیه گردیده است. دستورات این زبان ساده و قابل درک بوده و به راحتی می‌توان الگوریتم‌های ریاضی نسبتاً پیچیده را برای آن بیان نمود. این زبان از امکانات گرافیکی و سرعت اجرای بالا برخوردار می‌باشد. نرم افزار QUICK BASIC را می‌توان به راحتی در کامپیوترهای شخصی قرار داد. این نرم‌افزار دارای مفسر بسیار قوی و باهوش بوده که به وسیله آن می‌توان نسبت به خط‌گذاری و رفع نواقص برنامه اقدام نمود. با استفاده از آرایه‌های دینامیک و دستورات خاصی که در این نرم افزار وجود دارد می‌توان از حافظه اتفاقی کامپیوتر به خوبی استفاده کرده و تحلیل مسائل با ابعاد بزرگ را بوسیله کامپیوترهای شخصی امکان‌ذیر ساخت [۷] و [۸].

ب - توانایی برنامه: با استفاده از این برنامه می‌توان میدان تنش و تغییر شکل یک محیط پیوسته دو بعدی را طی یک تحلیل استاتیکی در حالات الاستیک و یا الاستوپلاستیک تعیین نمود. به این محیط پیوسته دو بعدی می‌توان حالت کرنش صفحه‌ای یا حالت تنش صفحه‌ای نسبت داد. همچنین در صورت مشخص بودن پارامترهای رفتاری تابع زمان می‌توان بر مبنای مدل الاستو ویسکوپلاستیک به بررسی تغییر شکل‌ها و تنش‌های تابع زمان این محیط پیوسته دو بعدی پرداخت.

ج - محدوده کاربرد برنامه: همانطور که ذکر شد هنگام اجرای برنامه در صورت لزوم می‌توان از حافظه اتفاقی کامپیوتر استفاده نمود. البته در استفاده از آن محدودیت‌هایی نظیر حداکثر مجاز ابعاد رشته‌ها و ماتریس‌ها در نرم افزار QUICK BASIC وجود دارد. بهر حال برای استفاده کامل و بهینه از حافظه کامپیوتر در برنامه ترتیبی اتخاذ گردیده که فقط در درجات آزادی فعال در نظر گرفته می‌شوند و ماتریس سختی حاصل به صورت نواری ذخیره می‌شود. در این برنامه می‌توان مسئله‌ای با ابعاد ذیل را تحلیل نمود:

$$NEQ \leq \frac{32500}{MBAND} \quad (41)$$

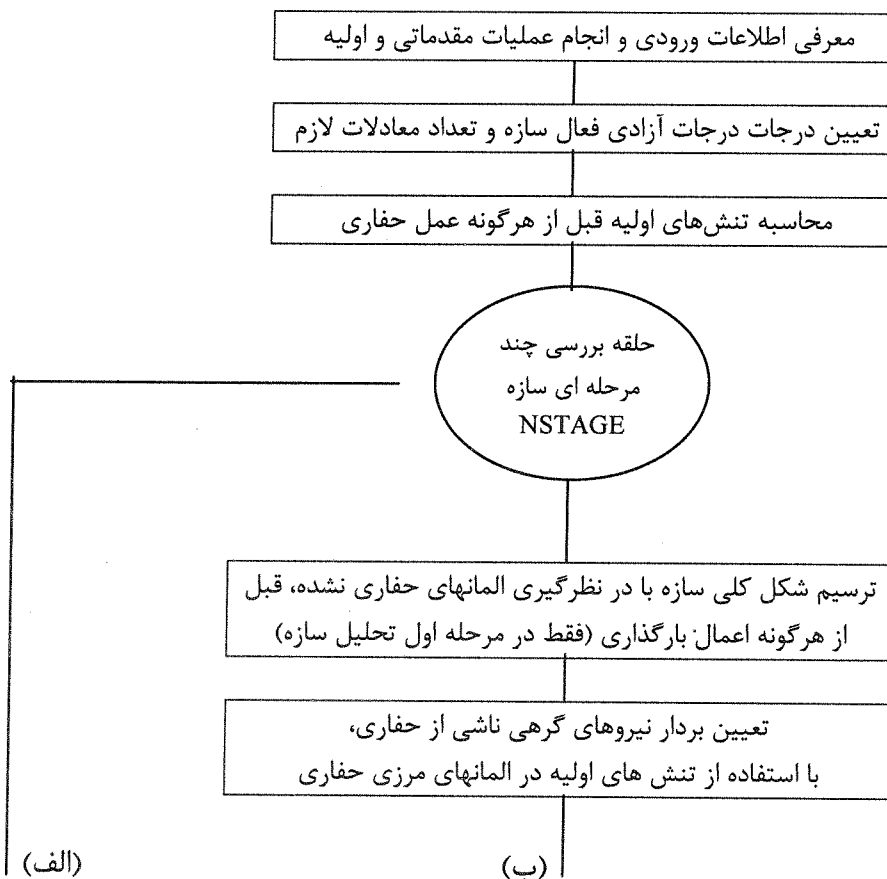
در رابطه ۴۱، MBAND نصف عرض نوار ماتریس سختی و NEQ تعداد معادلات لازم برای یافتن درجات آزادی فعال می‌باشد. هرچه مقدار MBAND کوچکتر باشد ضمن کوچکتر شدن ابعاد ماتریس سختی نواری شده حافظه کمتری مورد استفاده قرار گرفته و با یک شماره گذاری بهینه می‌توان از حداکثر امکانات کامپیوتر استفاده نمود.

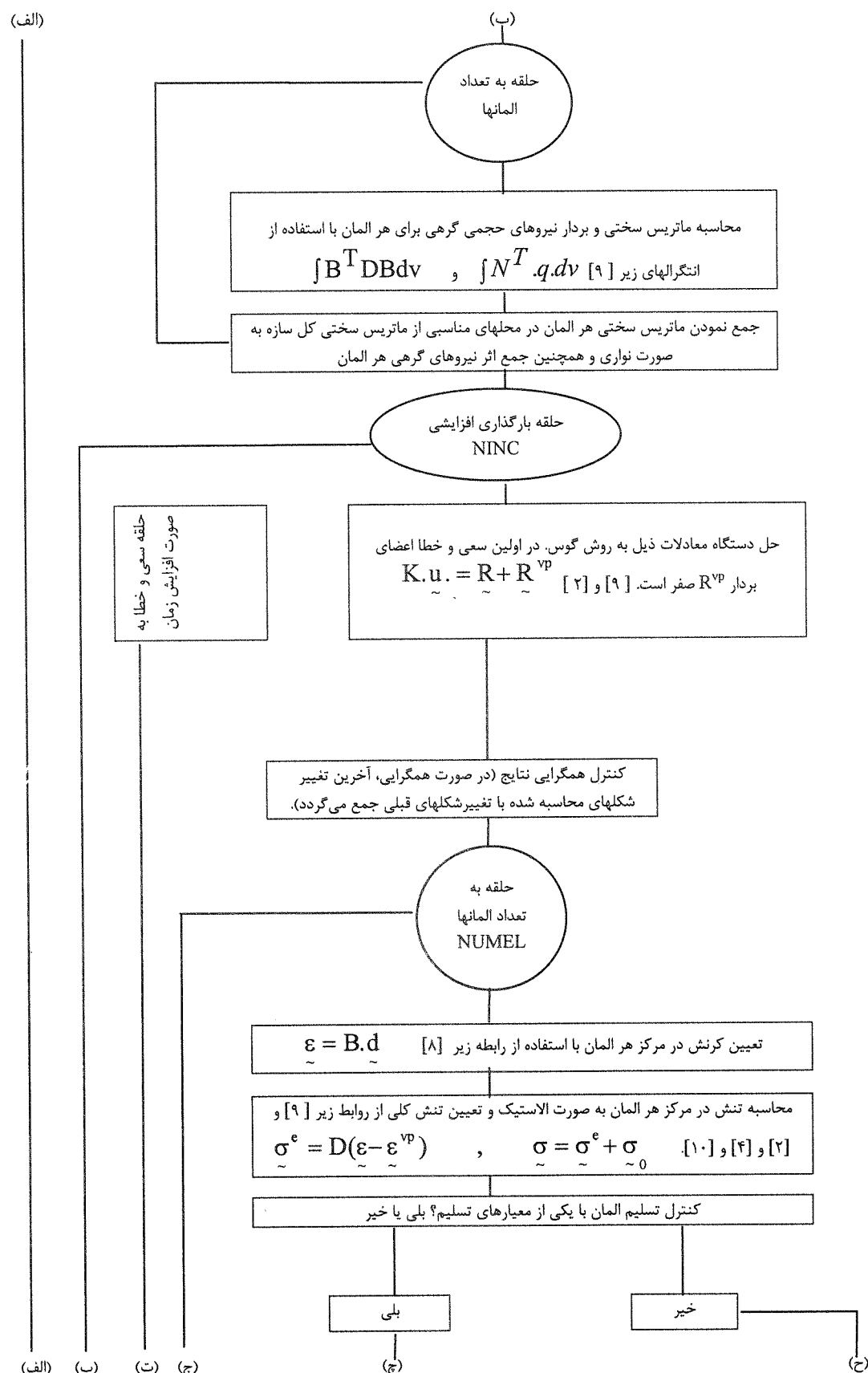
ویژگیهای خاص برنامه

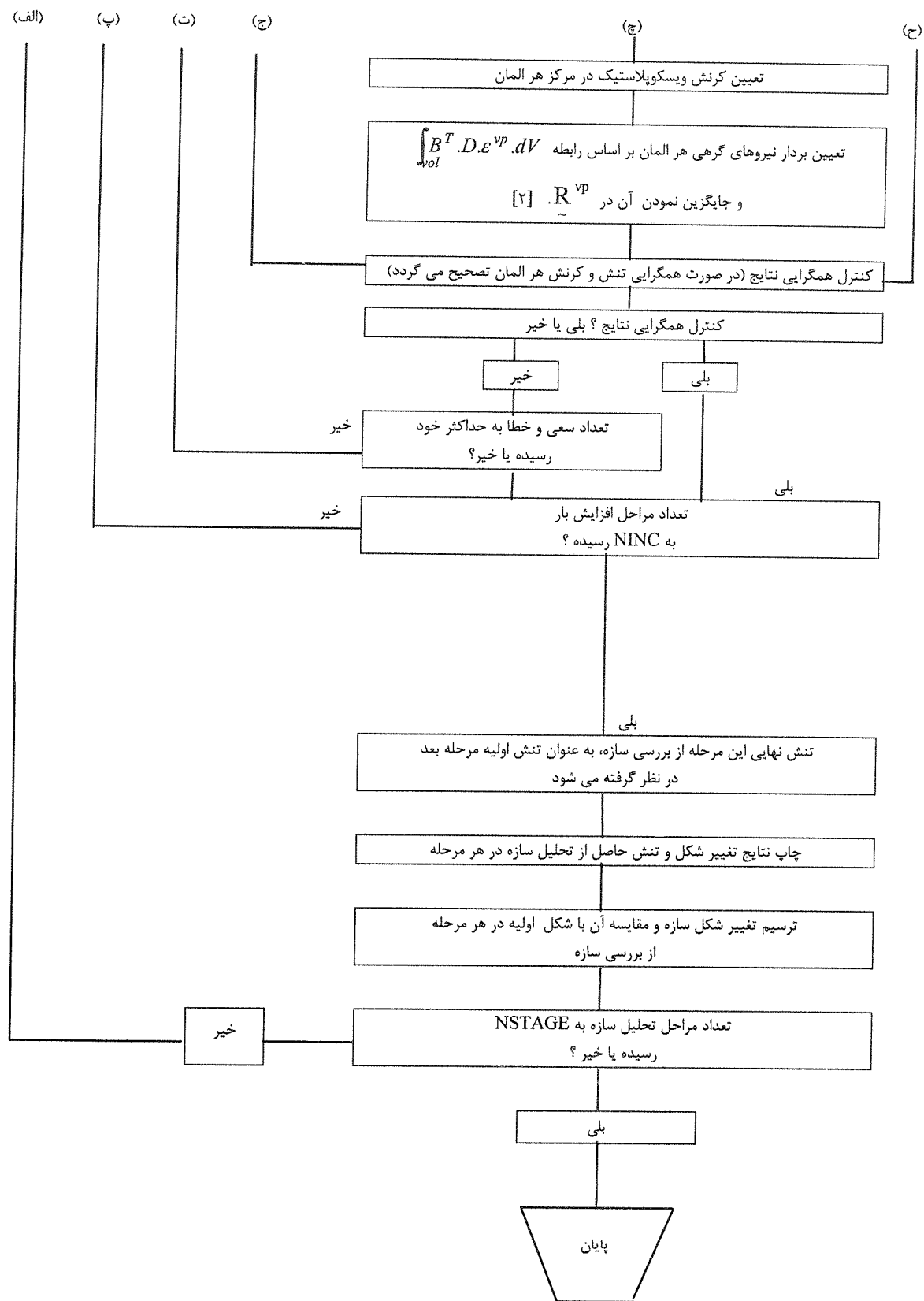
- الف - مدل‌های رفتاری و معیارهای تسلیم: با توجه به اینکه در اینجا هدف تعیین فشار لازم برای سیستم نگهداری و حاصل و بررسی تغییر شکل توده سنگ اطراف تونل می‌باشد از معیارهای تسلیم سنگ در این برنامه استفاده می‌شود. در اینجا معیار نظری مورکولمب و معیار تجربی هوک و براون به کار گرفته شده‌اند. محاسبه توابع تسلیم و نرخ کرنش‌های ویسکوپلاستیک این دو معیار طی زیر برنامه‌های خاصی صورت می‌پذیرد.
- ب - مدل تحلیلی غیر کشش: بطوریکه شرح آن گذشت علاوه بر مدل‌های تسلیم معیار فرضی غیر کشش برای تعیین مناطق کششی احتمالی در اثر حفاری مقطع تونل در این برنامه گنجانیده شده است. در اینجا نیز از روش ویسکوپلاستیک برای انجام عمل سعی و خطا در برنامه استفاده شده و توسط زیر برنامه خاصی تحلیل غیر کشش انجام می‌شود. در این مدل اگر در اثر حفاری توده سنگ هیچ نقطه‌ای از آن به کشش نیافتد نتایج حاصل منطبق بر تحلیل الاستیک تونل می‌باشد.
- ج - مراحل حفاری: برنامه قادر است در مراحل مختلف حفاری تغییر شکل الاستوپلاستیک توده سنگ اطراف تونل را محاسبه نموده و به کمک آن اثر حفاری چند مرحله‌ای در مقایسه با حفاری یک مرحله‌ای مقطع تونل بررسی می‌شود. در این نرم افزار تا پنج مرحله حفاری می‌توان در نظر گرفت [۱۰].

فلوچارت برنامه کامپوتري

شکل (۴)، فلوچارت کامل برنامه را نشان میدهد. در این شکل در هر محل توضیحات لازم داده شده و دوایر به منزله حلقه تکرار می‌باشند.



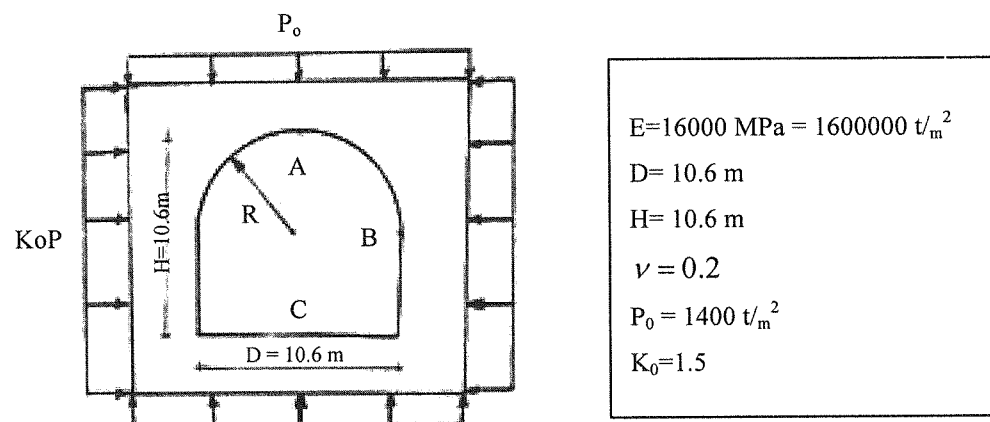




شکل (۴) فلوچارت برنامه کامپیوتوی.

ارزیابی نتایج تحلیل غیرخطی تونل با مقطع نعل اسپی

به منظور تحلیل فضای زیرزمینی با مقطع غیردایره و ترسیم منحنی مشخصه زمین اطراف آن تونلی با مقطع نعل اسپی با ابعاد و مشخصات مندرج در شکل (۵) در نظر گرفته شده است. شماره‌گذاری گره‌ها و المانها مطابق شکل ۶ انتخاب شده است.



شکل (۵) مقطع تونل نعل اسپی با مشخصات عمومی توده سنگ اطراف آن.

در دو حالت زیر و به ازای مقادیر مختلف فشار حاصل (سیستم نگهداری) منحنی‌های مشخصه زمین اطراف برای طاق و دیوارها در اشکال ۷ و ۸ برای دو معیار موهر کولمب و هوک و براون ترسیم گردیده است.

الف - شکل ۷: این شکل برای مشخصات زیر بدون در نظر گرفتن وزن المانها صادق بوده و برای معیار موهر کولمب حل شده است. وزن مخصوص سنگ $\frac{2}{5}t/m^3$ منظور گردیده است.

$$C=150 \text{ t/m}^2$$

$$\varphi = 32^\circ$$

چسبندگی توده سنگ

زاویه اصطکاک داخلی توده سنگ

ب - شکل ۸: در این شکل منحنی‌های مشخصه زمین اطراف تونل با توجه به معیار هوک و براون و با در نظر گیری وزن المانها توده سنگ ترسیم شده است.

مشخصات توده سنگ عبارتند از:

$$s=0.004$$

$$m=0.7$$

$$G_s = 2.5 \text{ t/m}^3$$

وزن مخصوص توده سنگ

همانطور که شکل‌های ۷ و ۸ نشان می‌دهند، هر یک از منحنی‌ها دارای دو بخش خطی و غیرخطی هستند. بخش خطی معرف رفتار الاستیک و بخش غیرخطی معرف رفتار الاستوپلاستیک توده سنگ اطراف تونل می‌باشند. همچنین با مقایسه حالات الف و ب، مشاهده می‌شود که با در نظر گیری وزن توده تغییر شکل در تاج تونل بیشتر می‌شود. با مراجعه به اینگونه منحنی‌ها می‌توان سختی حاصل مورد نیاز را انتخاب و با توجه به زمان نصب سیستم نگهداری مشخصات مناسب برای طرح نگهداری را به دست آورد.

مقایسه رفتار تونل در حالت حفاری یک مرحله‌ای و دو مرحله‌ای

شکل‌های ۹ و ۱۰ به ترتیب تغییر شکل جداره تونل با مقطع نعل اسپی و منطقه پلاستیک اطراف تونل را در حالت حفاری یک مرحله‌ای و دو مرحله‌ای نشان می‌دهند.

مشخصات احرازی برنامه در این پرسشهای عبارتند از:

حسنی

زاویه اصطکاک داخلی

سایر مشخصات تونا، نظریه شکار می باشد.

بطوریکه از این شکل‌ها مشخص است، تغییر شکل جداره تونل در حالت حفاری دو مرحله‌ای کمتر از تغییر شکل آن در حالت حفاری یک مرحله‌ای است. همچنانی در حالت دو مرحله‌ای ناحیه کوچکتری از توده سنگی اطراف تونل پلاستیک شده است. این اشکال بهبود شرایط طرح حاصل تونل را در حالت حفاری دو مرحله‌ای نسبت به حالت یک مرحله‌ای نشان می‌دهند. برای بررسی دقیق‌تر حالات حفاری چند مرحله‌ای و اثر طول جبهه پیشروی می‌توان از تحلیل سه بعدی الاستوپلاستیک استفاده نمود.

نتائج تحليل غير كشّش، توزل، يا مقطع نعل اسي

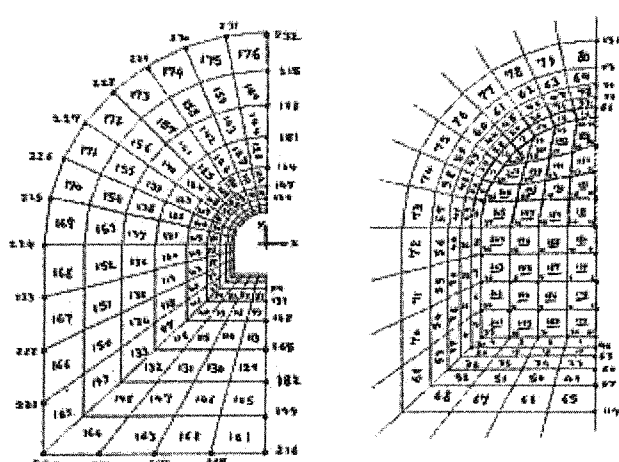
در شکل ۱۱ منطقه پلاستیک اطراف تونل با توجه به تحلیل الاستوپلاستیک و بدون در نظرگیری حاصل و همچنین منطقه فعال دام، تک، کشش، را توجه به تحلیل غیرکشش نشان داده شده است.

در واقع تحلیل غیرکشش وضعیت توده سنگ را به لحاظ کیفی مشخص کرده و نقاط موضعی اطراف تونل که استعداد ترک خورده‌گی داشته و نیاز به تقویت دارند طی این تحلیل مشخص می‌گردد. مقدار تقویت مورد نیاز برای این محله‌ای موضعی را می‌توان از تحلیل الاستوپلاستیک توده سنگی بدست آورد. در این شکل پس از تحلیل الاستوپلاستیک صحت پیش بینی تحلیل غیرکشش مشخص گردیده و می‌توان با توجه به میزان تنش کششی بدست آمده مقدار تقویت لازم را محاسبه نمود. این تقویت می‌تواند با استفاده از سنگ دوزها که در شکل نشان داده شده است و با بتن پاشی موضعی و یا سراسری انجام گردد.

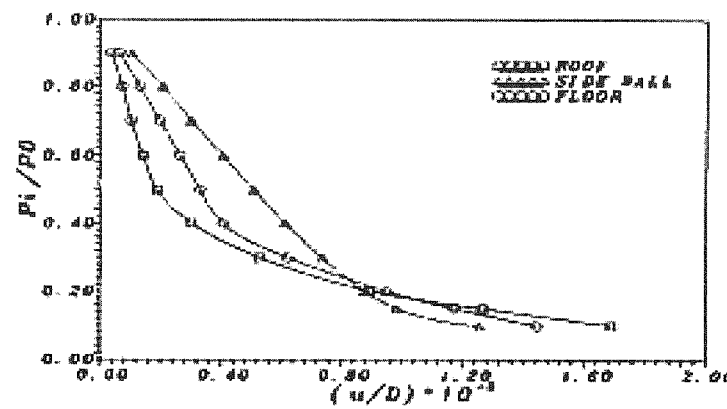
خلاصه و تصحیح گردی

با توجه به محدودیت‌های فراوان روش‌های حل بسته در تحلیل توده سنگ اطراف تونل‌ها و فضاهای زیرزمینی، از روش المان‌های محدود برای تحلیل غیرخطی میدان تنش و تغییر شکل استفاده گردید. مدل الاستوویسکوپلاستیک تشریح و سپس معادلات مربوط به معیارهای تسلیم موهر کولمب و هوک و براون برای استفاده در برنامه کامپیوتری به دست آمدند. فلوچارت برنامه در حالات کلی ترسیم گردید. برای ارزیابی روش و برنامه کامپیوتری تونلی با مقطع نعل اسبی و با مشخصات معین مورد ارزیابی قرار گرفت.

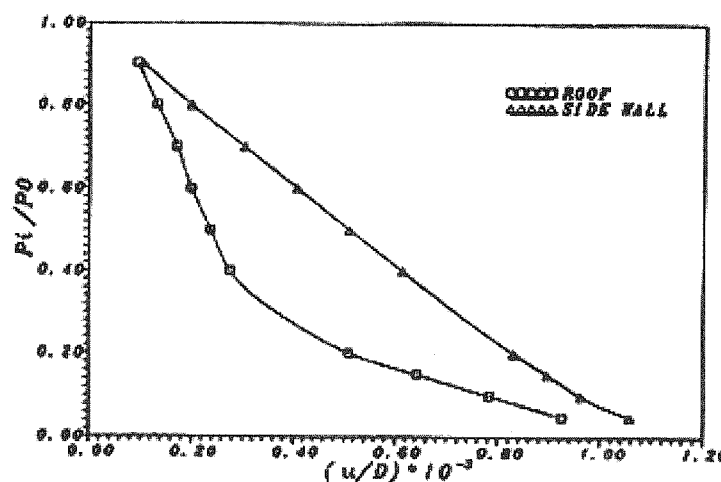
نتایج حاصل از تحلیل غیر خطی، توانا و مقاسه آن با مقطع معادل، داره کارایی و صحت روش را به خوبی نشان می‌دهد.



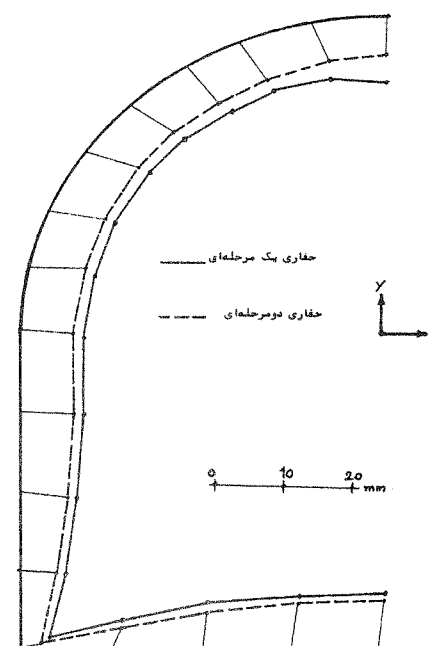
شکل (۶) شماره‌گذاری گره‌ها و المان‌های توزنی نعل اسی:



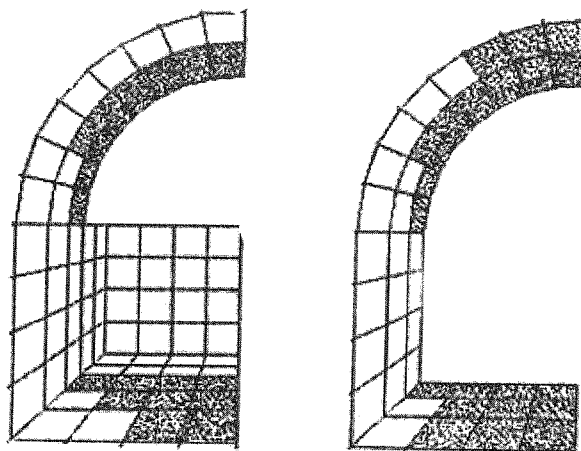
شکل (۷) منحنی های مشخصه طاق، دیواره و کف تونل نعل اسپی بر پایه معیار موهر-کولمب بدون در نظر گرفتن وزن المان ها.



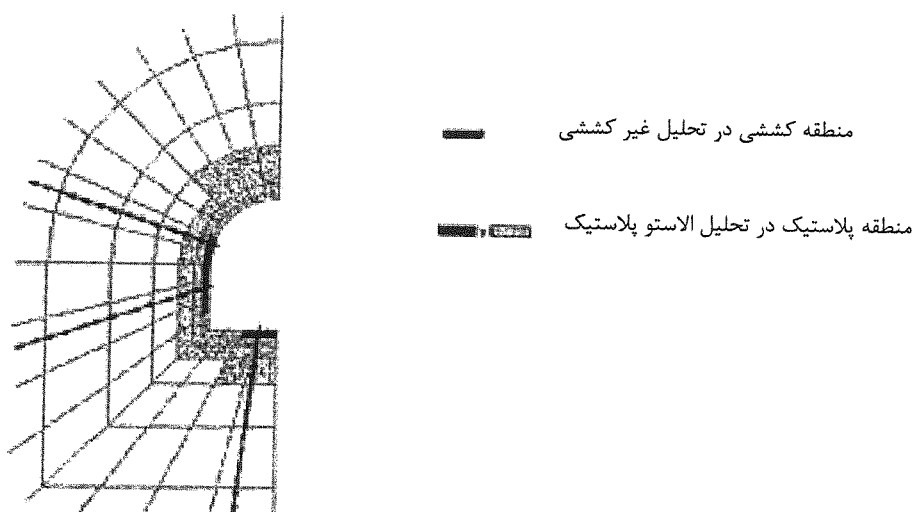
شکل (۸) منحنی های مشخصه طاق و دیواره تونل نعل اسپی بر پایه معیار هوک و براون.



شکل (۹) تغییر شکل جداره تونل در دو حالت حفاری یک مرحله‌ای و دو مرحله‌ای.



شکل (۱۰) مقایسه منطقه پلاستیک اطراف تونل در دو حالت حفاری یک مرحله‌ای و دو مرحله‌ای.



شکل (۱۱) نتایج تحلیل غیرکششی و محل‌های لازم برای تقویت.

مراجع

- [1] Ladanyi, B. 1974 Use of the long-term strength concept in the determination of ground pressure on tunnel linings. Advances in Rock Mechanics, Proc. Third Cong. Int. Soc. Rock Mech., vol 2.
- [2] Naylor, D. J., G. N. Pande, B. Simson. 1981. Finite elements in geotechnical engineering Pineridge press, UK.
- [3] Goodman, R.E. 1989 Introduction to Rock Mechanics. John Wiley & Sons.
- [4] Sun, J. And y. S. Lee, 1985. A viscous elasto-plastic numerical analysis of underground structure interacted with families of multi-laminate rock mass uning FEM. 5th Int. Con. Num. Meth. Geom., Nagoya.
- [5] Sharam, K. G., A. V. Vardarajan, and R. K. Srivastava, 1985. Elasto-viscoplastic finite element analysis of tunnels. 5th Int. Con. Num. Meth. Geom. Nagoya.
- [6] Anagnosotou, G. And K. Kovary. 1993. Significant parameters in elasto-plastic analysis of underground openings. J. Geot. Eng. Vol. 119, No. 3, ASCE.
- [7] Microsoft corporation, Q Basic, Vol. 1. 1988.
- [8] Microsoft corporation, Q Basic, Vol. 2. 1988.
- [9] Cool, R. D., D.S. Malkus, and M.E. Plesha. 1989. Concepts and applications of finite element analysis. 3rd. Ed., John wiley and son, New york.
- [10] جعفری مهرآبادی، احمد، ۱۳۷۲. تحلیل رفتاری اندرکنیش سنگ و حائل در سازه‌های زیرزمینی به روش المان‌های محدود. پایان نامه کارشناسی ارشد. دانشگاه صنعتی امیرکبیر